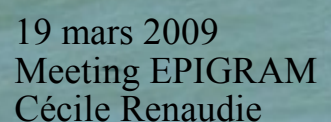
# Validation de KPP en région côtière

# Par Cécile Renaudie (Météo France/SHOM)

**Encadrants:** 

Météo France : Gwenaëlle Hello (GMAP), Hervé Giordani (GMGEC)

SHOM: Rémy Baraille, Yves Morel







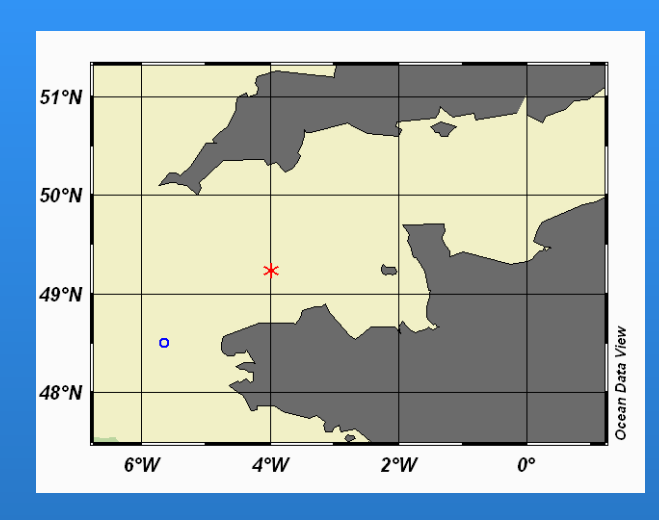
# Plan de la présentation

- I. Présentation des données de la campagne de mesures MOUTON2007;
- II. Forçages et flux turbulents;
- III. Tests de sensibilité sur le modèle HYCOM;
- IV. Présentation de MOUTON2008;
- V. Conclusions et perspectives.

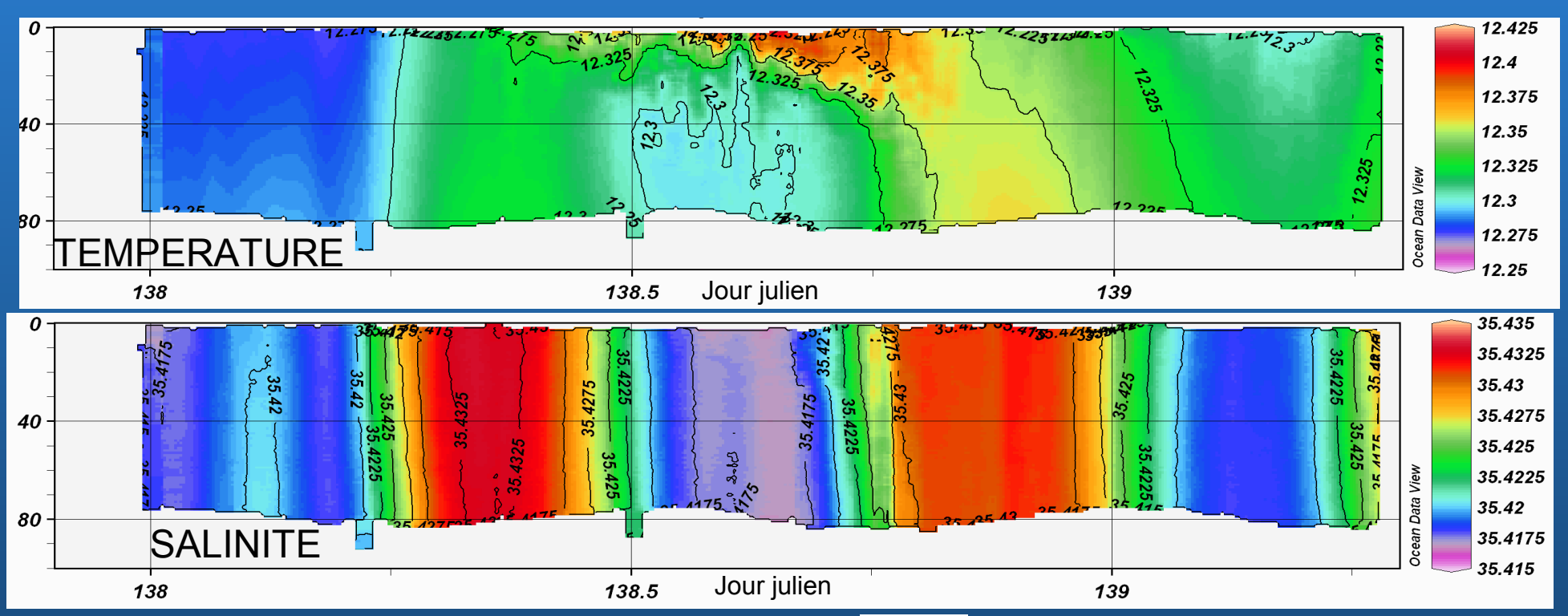


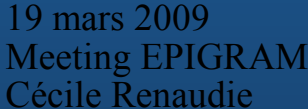


#### I.1. MOUTON 2007



- Dans le cadre du projet MOUTON : Modélisation Océanique d'Un Théâtre d'Opérations Navales)
- Date: 18 mai 2007
- · Lieu: Mer d'Iroise
- · Point fixe : (49.2N,4W) \*
- · Comparaison aux observations d'une bouée située en (48.5N,5.75W)。



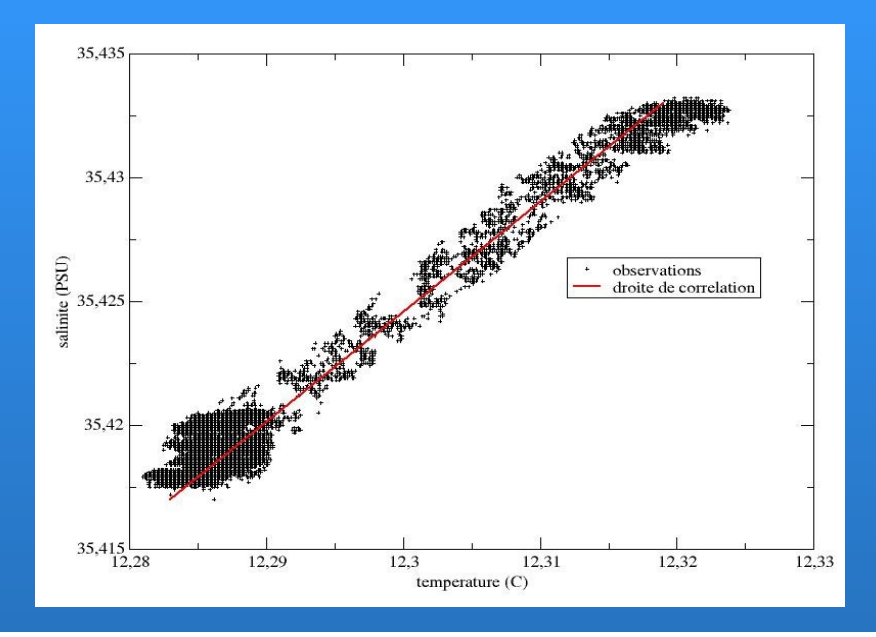


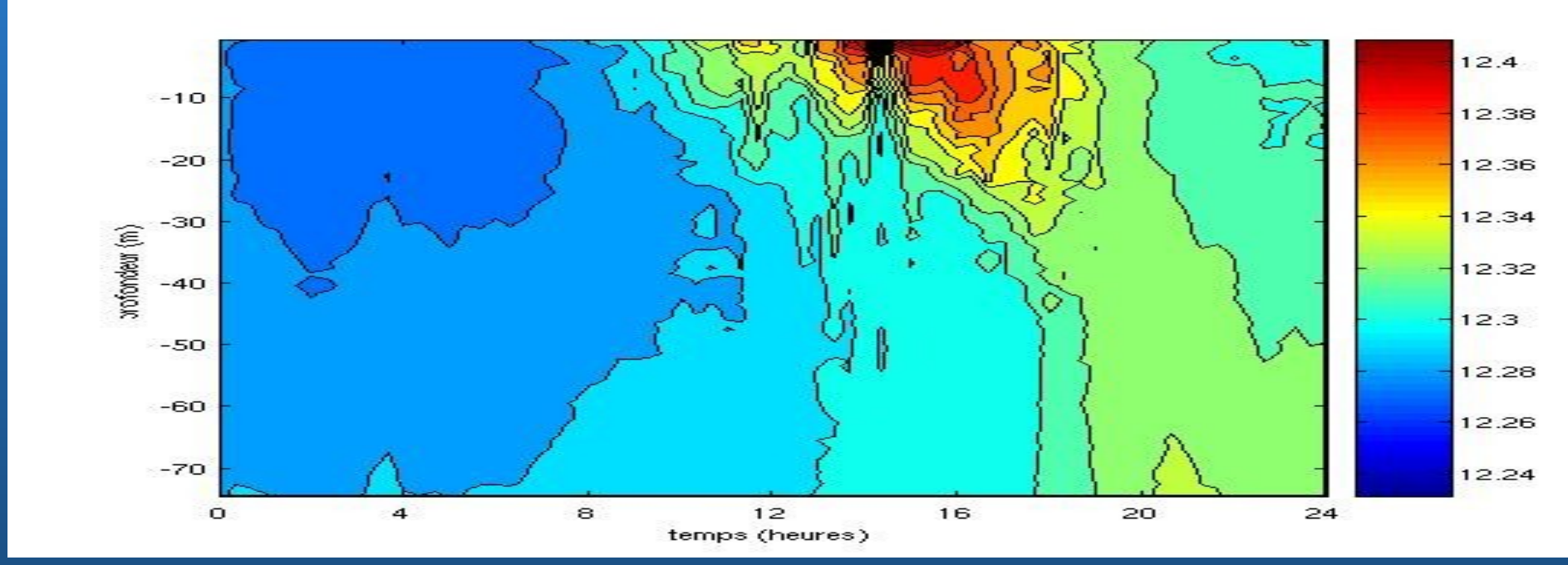




# I.2. Filtrage de la marée

- ΔTtot=ΔTmarée+ΔTrad
- Corrélation température / salinité : Tmarée=aS+b
- a = 2,25 et b = -67,4



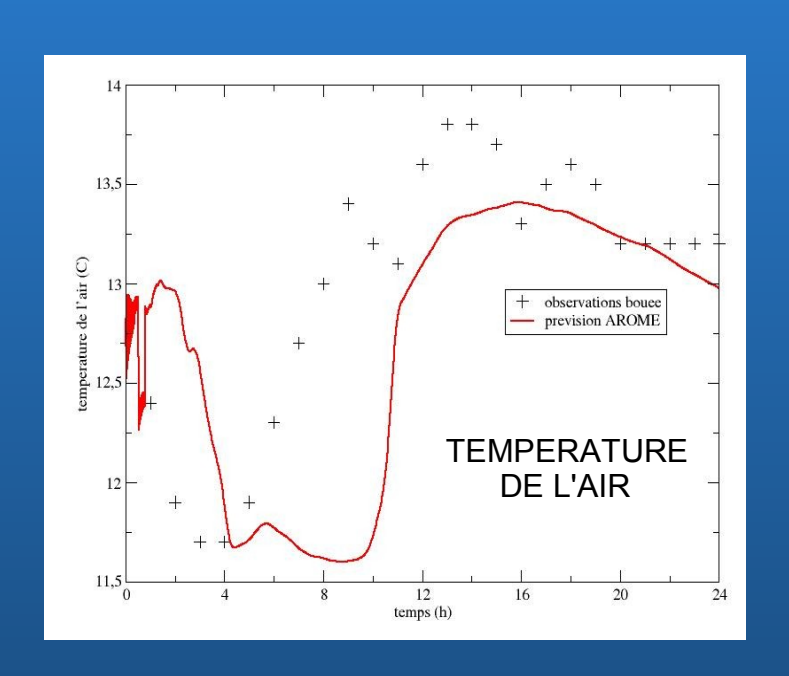


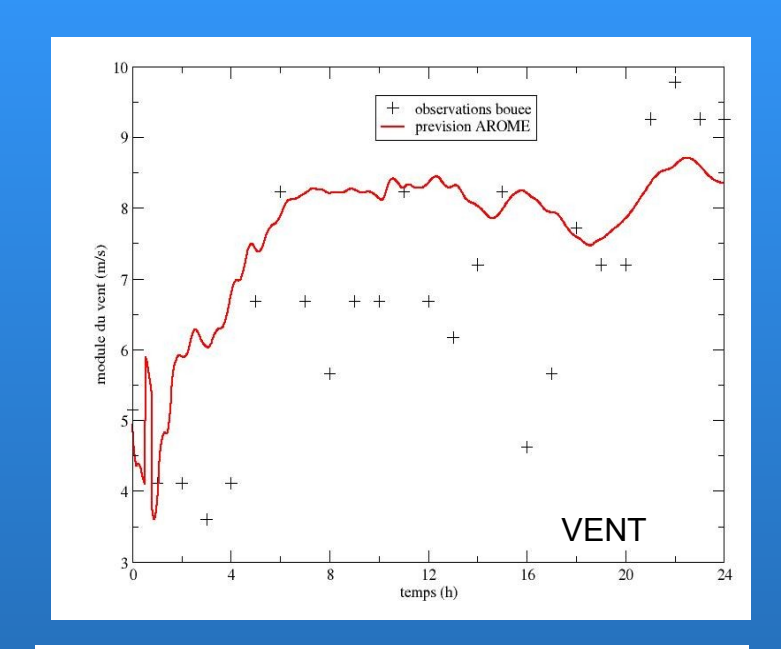


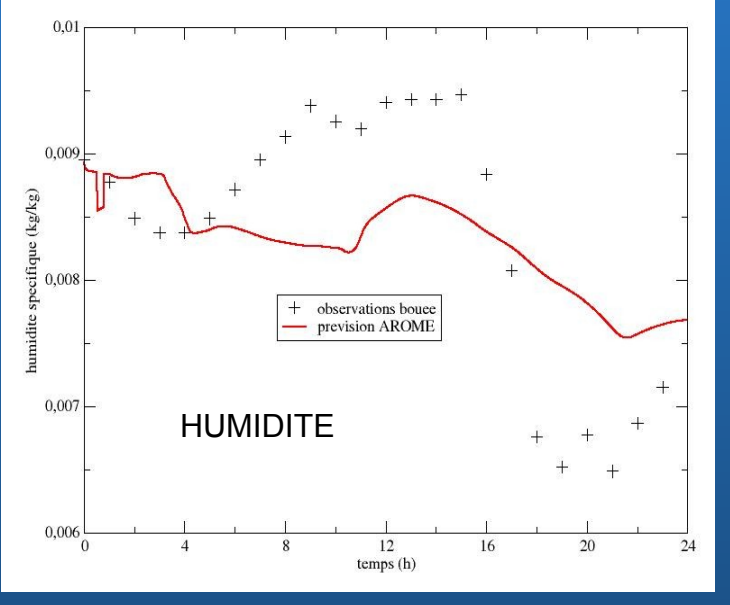


# II.1. Validation d'AROME (au niveau de la bouée)

AROME : Application de la Recherche à l'Opérationnel à MésoEchelle : modèle opérationnel à méso échelle de Météo France



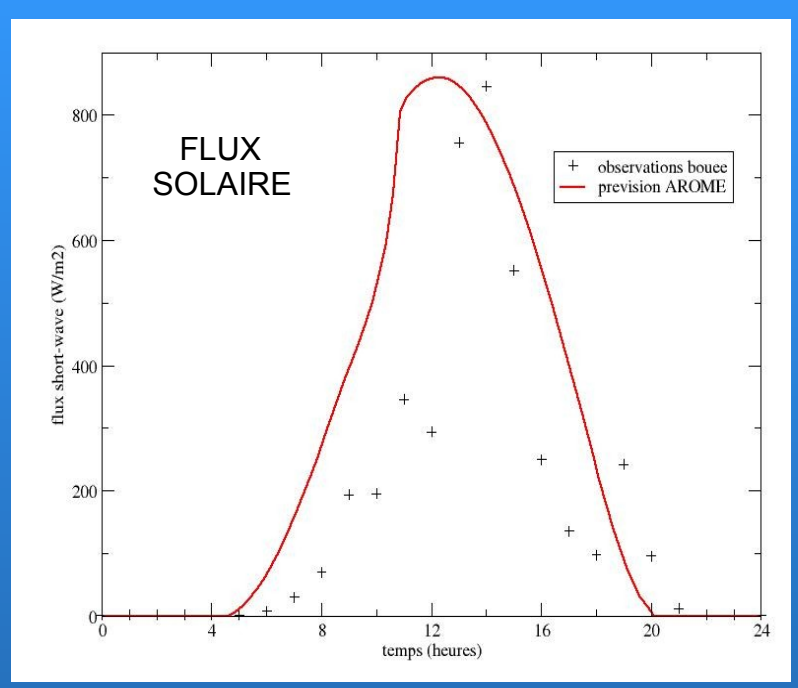


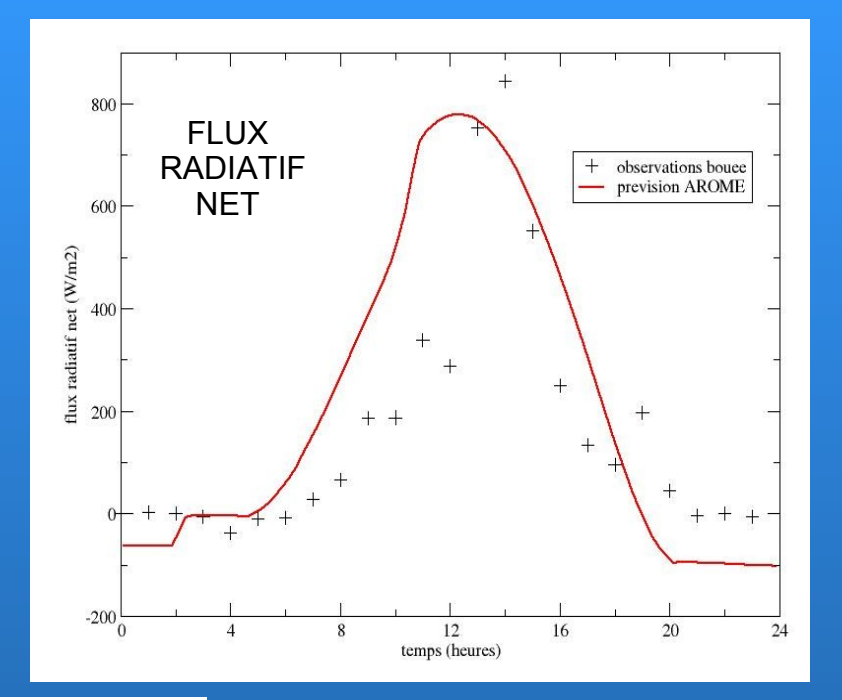


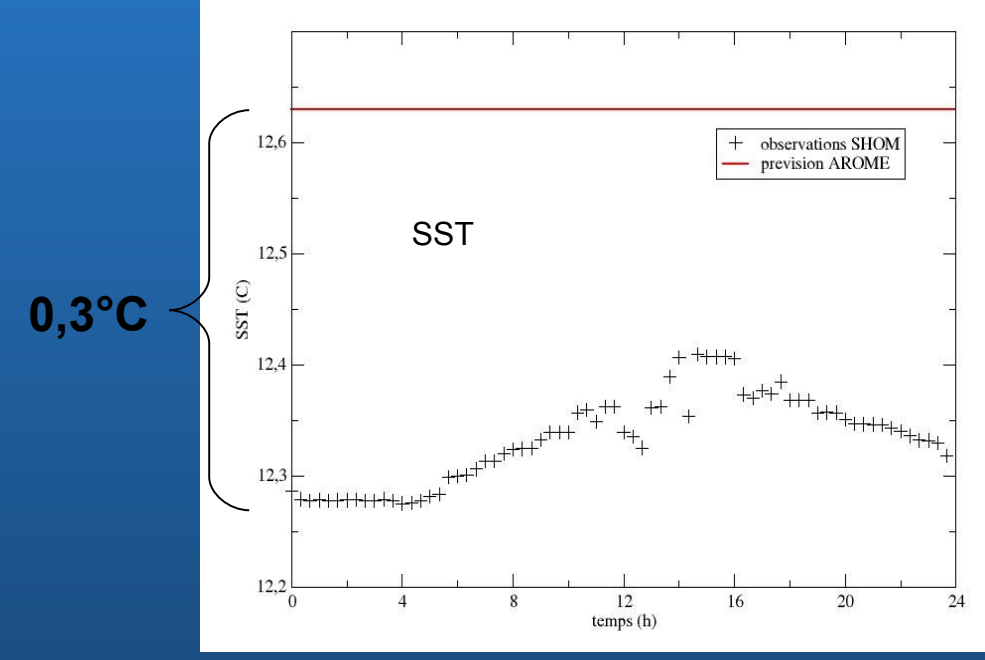




### II.1. Validation d'AROME



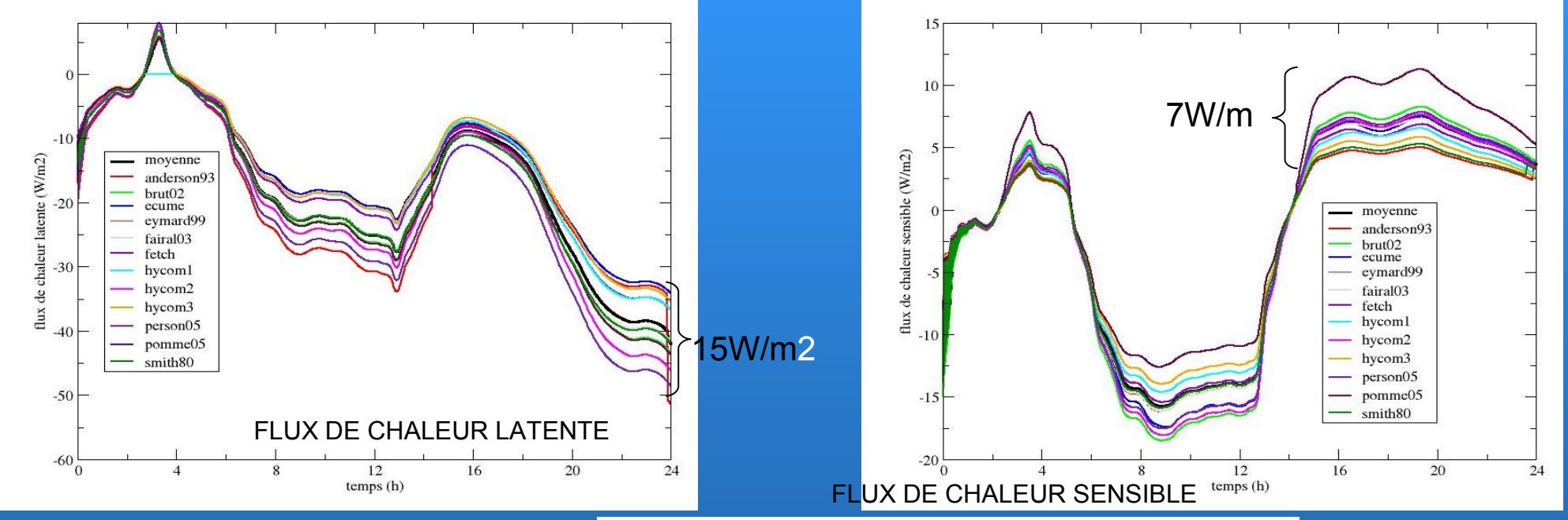






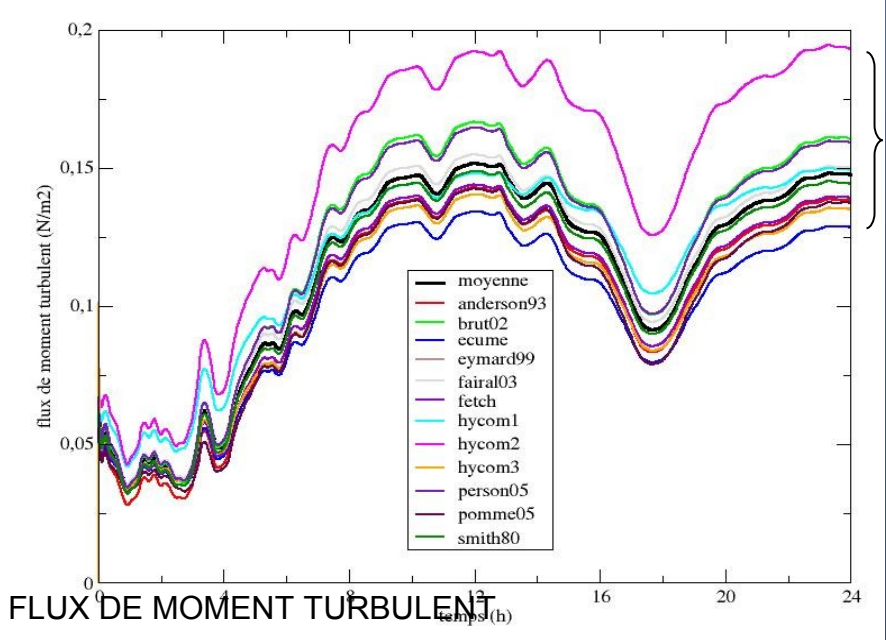


# II.2. Comparaison des flux turbulents pour AROME



Le plus près de la moyenne :

- latent et sensible : fairal03
- moment turbulent : smith80



0.06N/m2





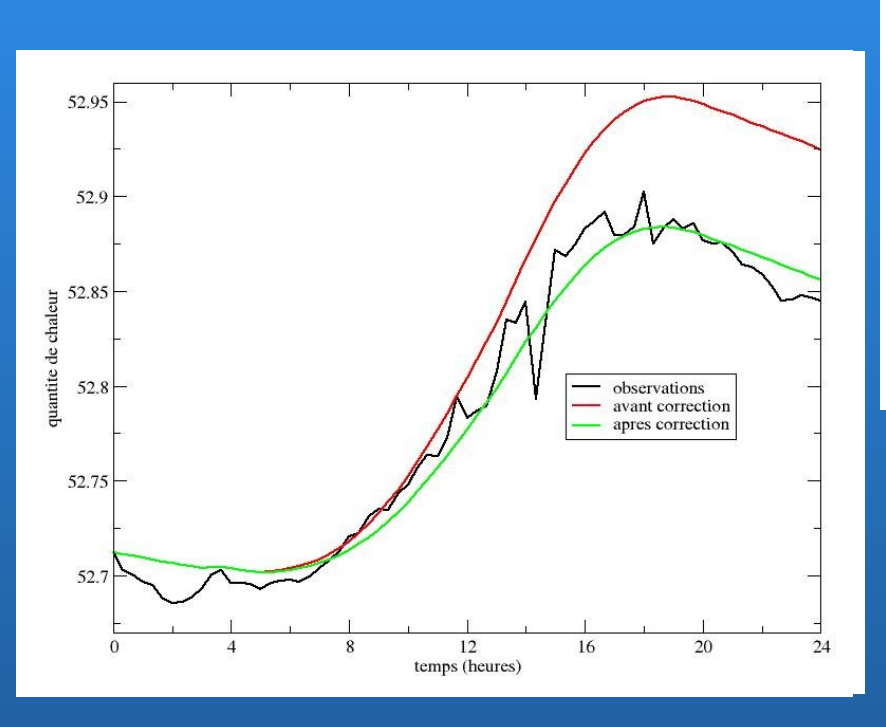
#### III. Tests de sensibilité sur le modèle HYCOM

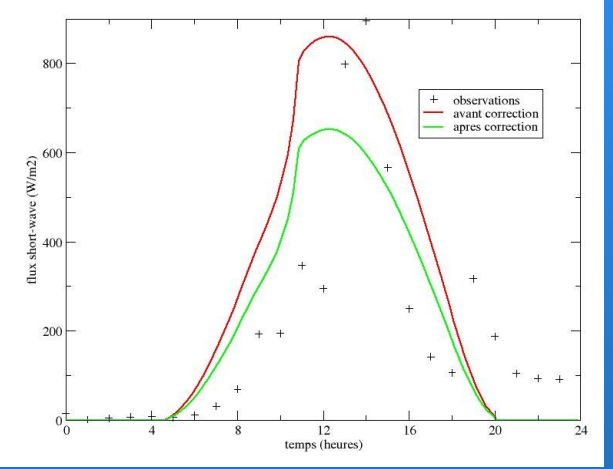
- HYCOM = HYbrid Coordinate Ocean Model = modèle hybride utilisant plusieurs systèmes de coordonnées verticales.
- Initialisation du modèle grâce aux observations, forçage grâce aux données présentées précédemment;
- Comparaison avec les observations filtrées de la marée;
- Schéma de mélange vertical : KPP (K-Profile Parameterization, Large 1994);
- Tests de sensibilité aux diverses paramétrisations des flux turbulents et au modèle employé pour les forçages atmosphériques.

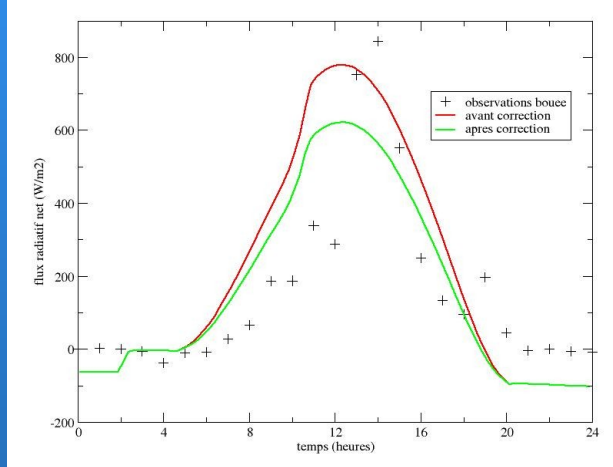


#### III.1. Correction des flux

Calcul de  $Q(t) = \rho \int T(t,z)dz$  après simulation HYCOM







	Flux solaire	Flux radiatif net
Observations	4142.00	3893.309
Avant correction	6688.22	5318.636
Après correction	5066.326	4090.053

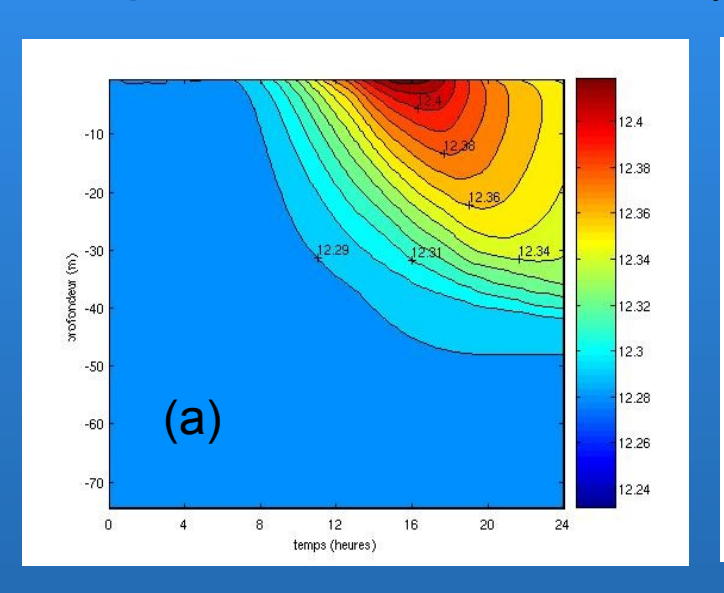
- → Trop de chaleur
- → Modification du flux solaire : SW=SW\*0.7575.

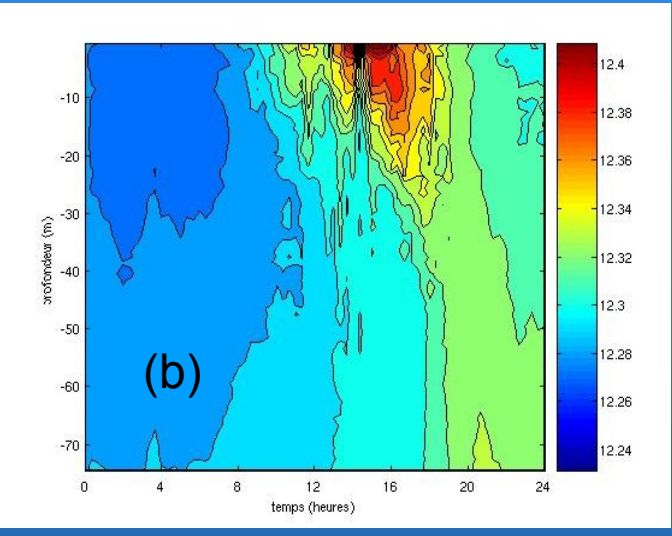


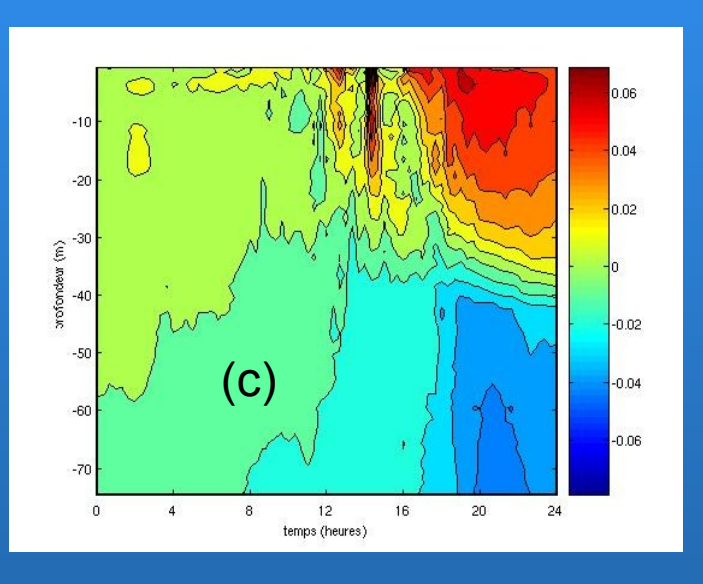


### III.2. Impact des vitesses

• Expérience 1 : simulation HYCOM après correction des flux radiatifs (a), comparée aux observations filtrées de la marée (b) et différence de température entre les 2 (c).



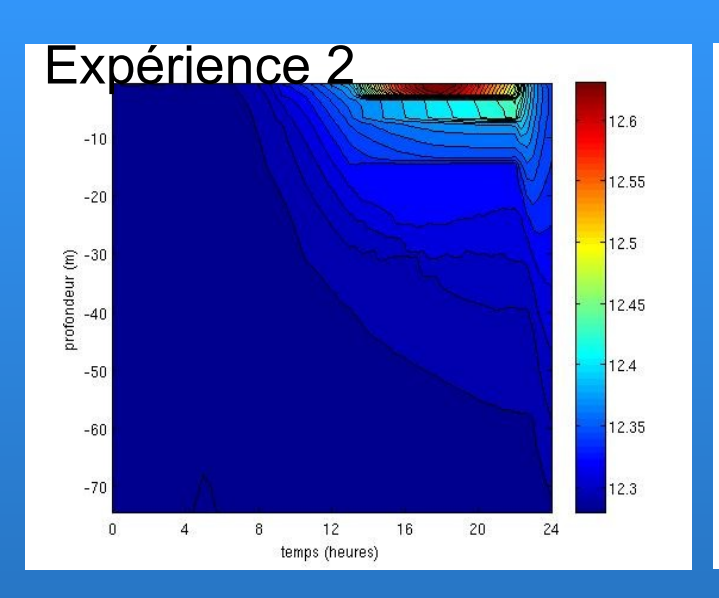


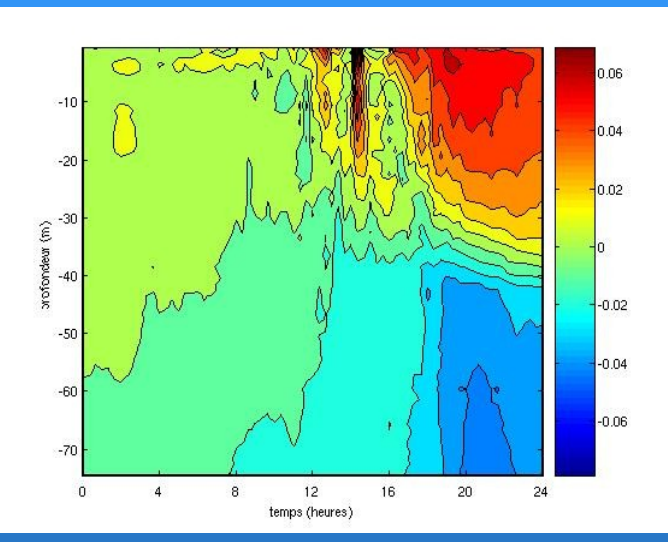


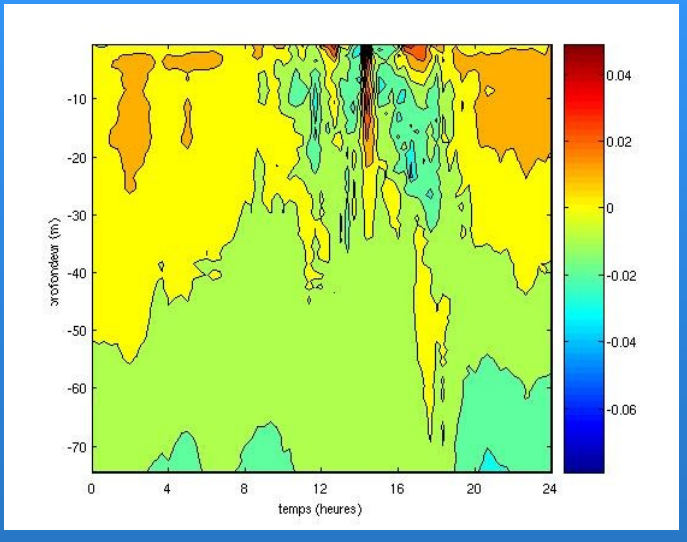
- Température trop élevée en surface et trop faible au fond → problème de mélange;
- Le mélange est généré quand le nombre de Richardson est en dessous d'un seuil critique → problème de vitesses;
- Expérience 2 : On force la vitesse du modèle par la vitesse observée.



### III.2. Impact des vitesses







Différence avec observations

- Manque de gradient de vitesse en surface;
- Ceci vient du fait que la première mesure de vitesse est réalisée à 10m, et celle à 5m est reconstruite à partir de cette dernière;
- Expérience 3 : Expérience 1 + Expérience 2;
- Expérience 3 permet le mélange, pénétration de la chaleur jusqu'au fond, et erreur par rapport aux observations beaucoup plus faible.

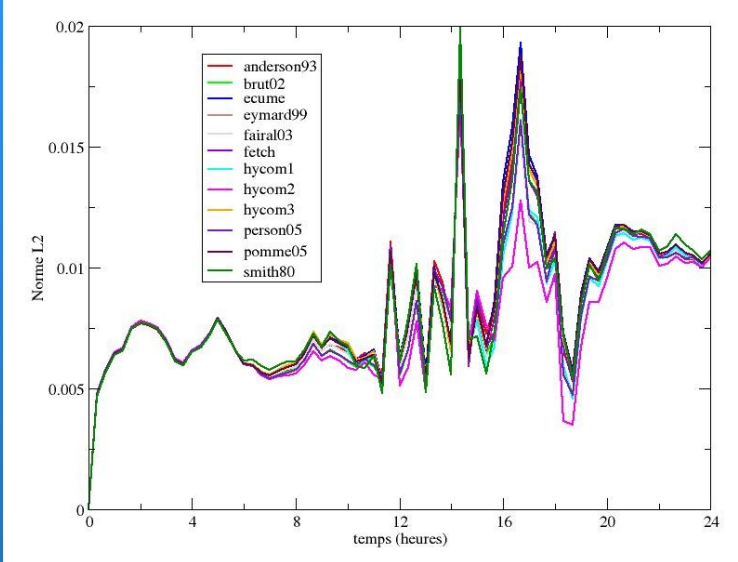




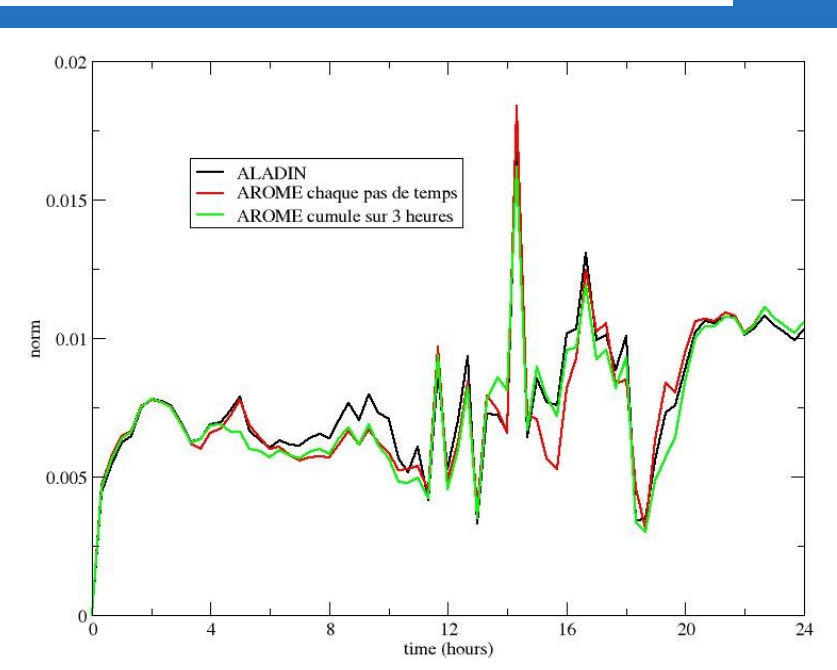


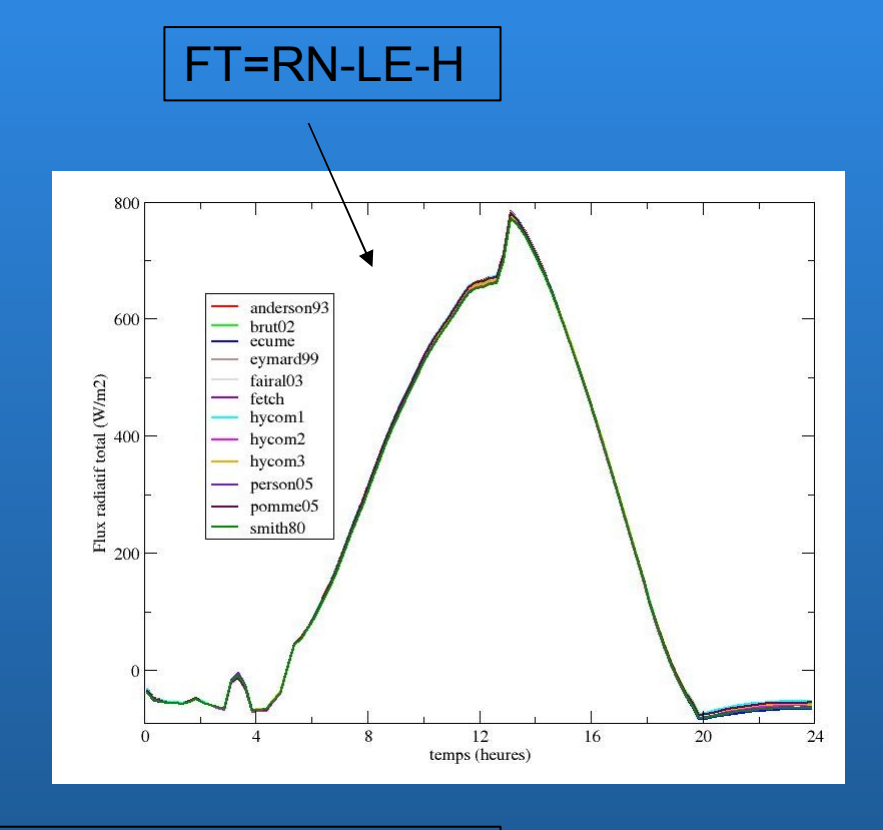
### III.3. Tests de sensibilité au calcul des flux

Norme L2 de la différence avec les observations :  $NL^2 = \frac{1}{H}h_i(T_{obs}(i) - T_{exp}(i))^2$ 



Sensibilité aux méthodes de calcul des flux turbulents





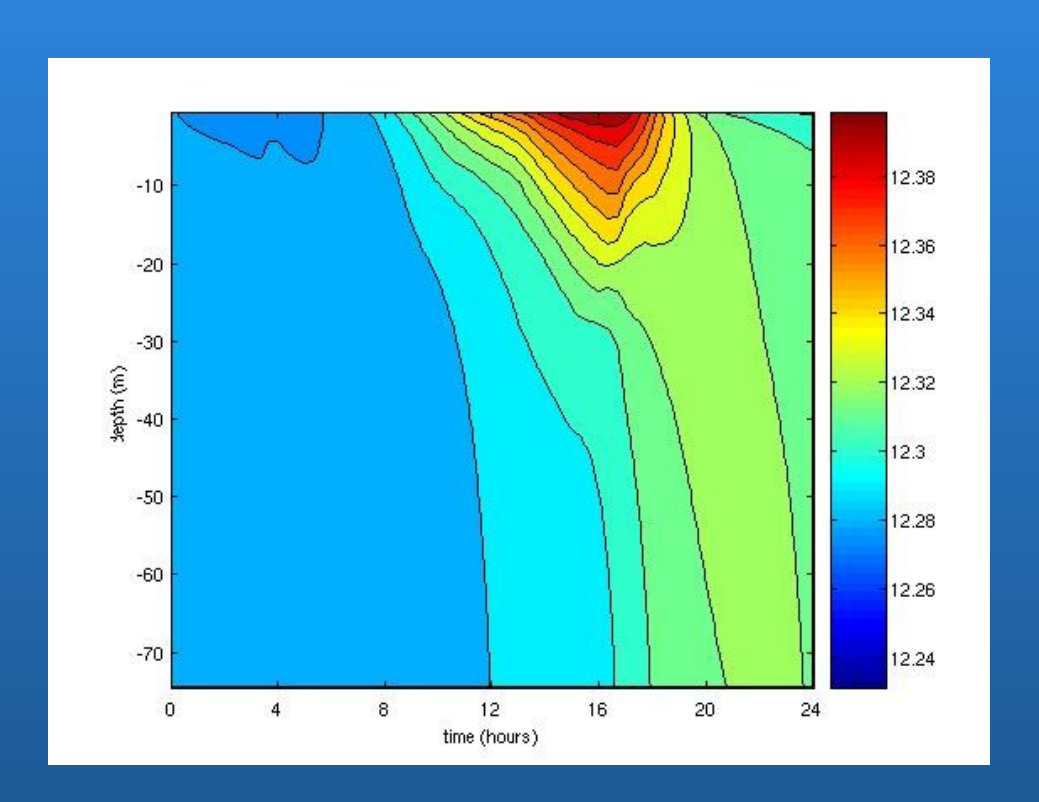
Sensibilité aux différents modèles pour les forçages

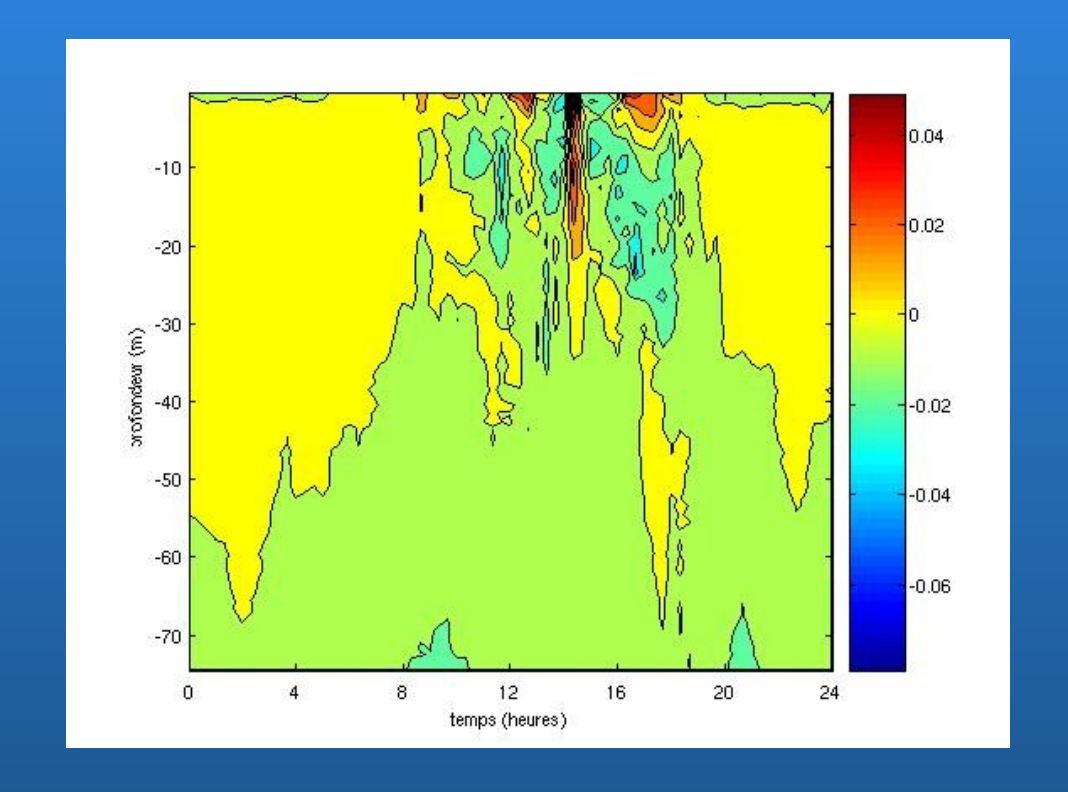




#### III.4. Tests de sensibilité à KPP

Après divers tests de sensibilité de HYCOM au schéma de mélange KPP, la meilleure solution est obtenue en désactivant les termes de transport non local



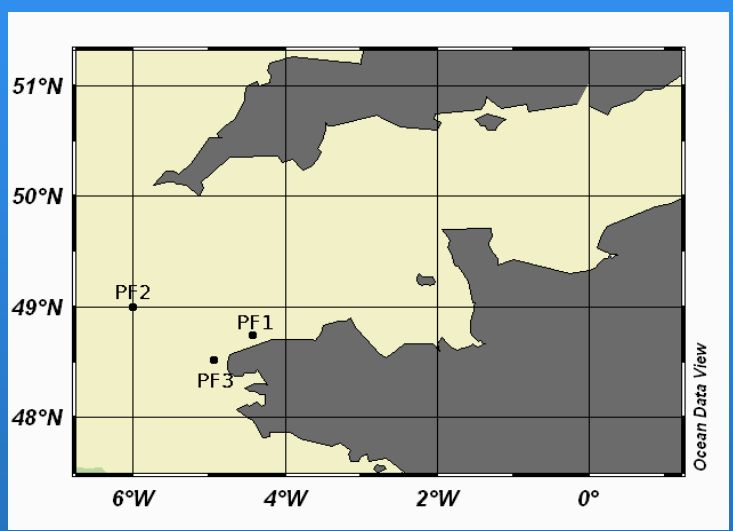






# IV. MOUTON 2008

#### Leg 1 : du 17/08/08 au 23/08/08





19 mars 2009 Meeting EPIGRAM Cécile Renaudie



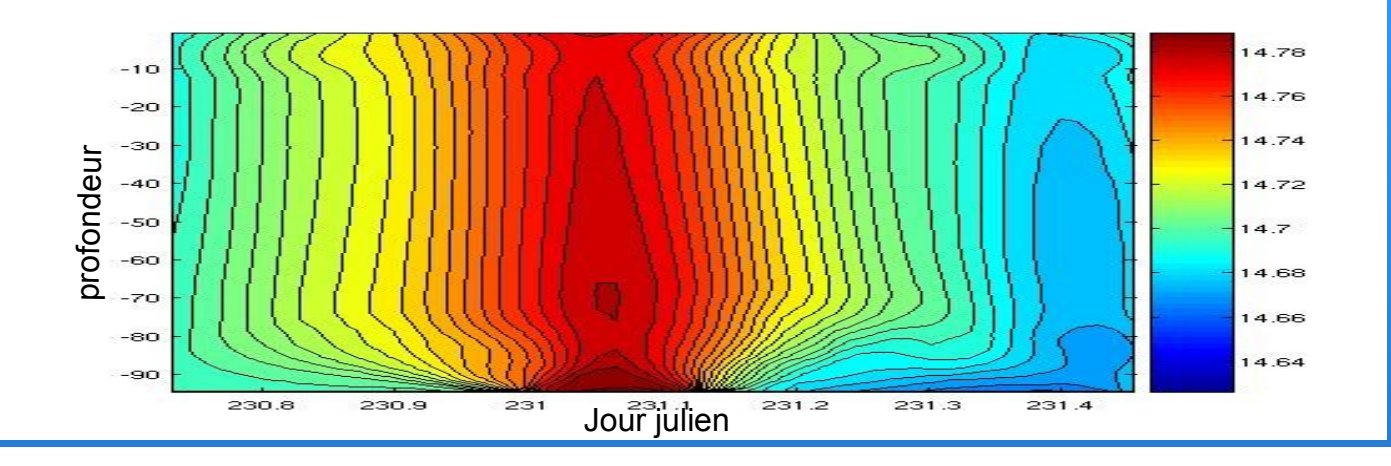




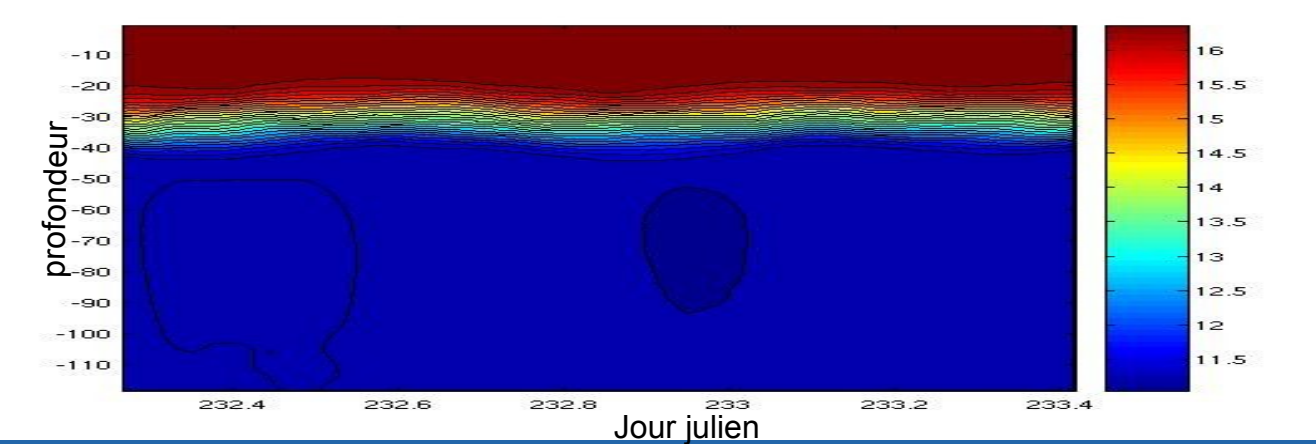




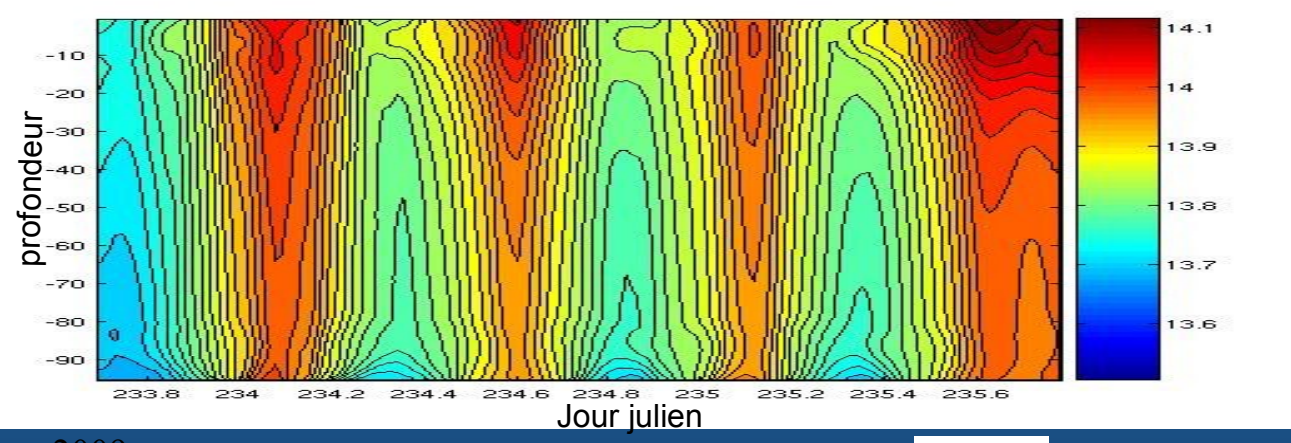
### IV.1. Premiers résultats : océan



PF1 : du 17/08 à 18hTU Au 18/08 à 11hTU



PF2 : du 19/08 à 6hTU au 20/08 à 10hTU

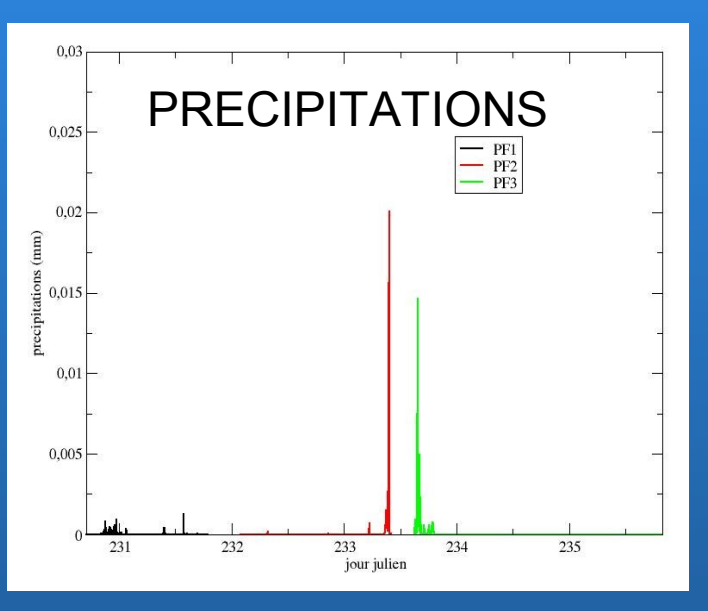


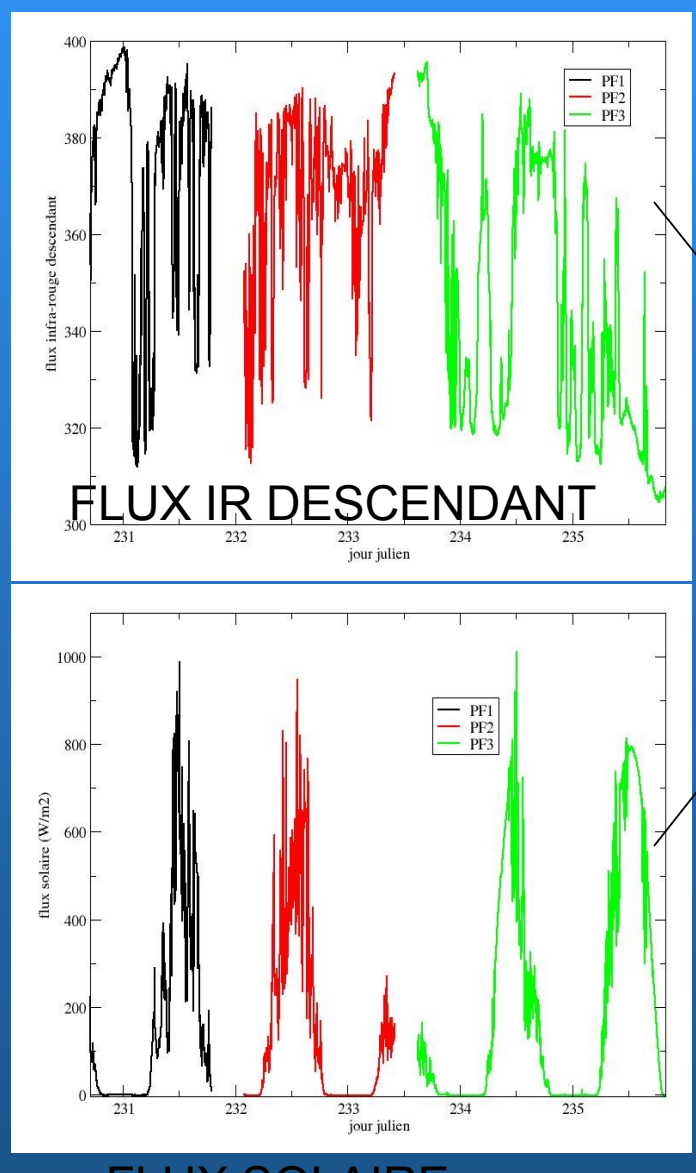
PF3 : du 20/08 à 17hTU au 22/08 à 19hTU

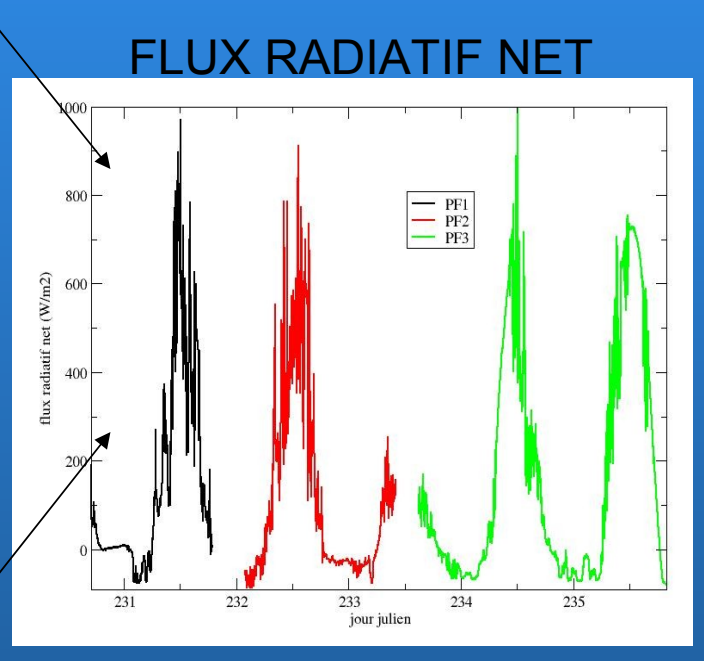




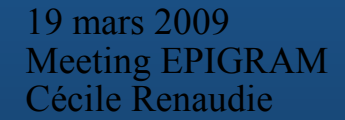
### IV.2. Premiers résultats : atmosphère







**FLUX SOLAIRE** 

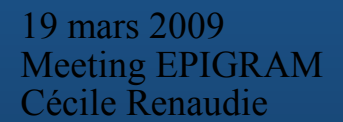






# V. Conclusions et perspectives

- Après correction des flux et prise en compte des vitesses observées, les résultats d'HYCOM sont très proches de la réalité;
- Les méthodes employées pour le calcul des flux donnent des résultats très proches sur ce cas;
- Par contre, les forçages employés (AROME vs ALADIN, fréquences différentes) ont une importance;
- Le fait de ne pas posséder d'observations atmosphériques est handicapant → intérêt de MOUTON2008;
- Le même travail sera réalisé sur les points fixes de MOUTON2008.







# Merci de votre attention





# Transport non local dans KPP

• L'évolution de X (quantité moyenne; température, salinité...) :

$$\partial_t X = -\partial_z wx$$
 avec x : fluctuation turbulente

Dans l'océan profond, diffusivités et viscosité:

$$wx = -v_x \partial_z X$$

 $(V_{\theta}, V_{S}, V_{m})$  sont les diffusivités de température potentielle, de salinité et de moment (viscosité)

Dans la <u>couche limite</u>: un terme non local est rajouté

$$\frac{1}{wx} = -K_{x}(\partial_{z}X - \gamma_{x})$$

$$\gamma_{\theta} = \begin{cases}
0 & \zeta \geq 0 \\
C_{s} \frac{\overline{w\theta_{0}} + \overline{w\theta_{R}}}{w_{\theta}(\sigma)h_{b}} & \zeta < 0
\end{cases}$$

$$\gamma_{S} = \begin{cases}
0 & \zeta \geq 0 \\
\overline{wS_{0}} & \zeta < 0
\end{cases}$$

$$\gamma_{m} = 0$$

 $\varsigma = d/L$  est un paramètre de stabilité,  $w\theta_0$  et  $wS_0$  sont les flux de surface,  $w\theta_R$  est la contribution du rayonnement solaire, alors que  $w_0$  et  $w_0$  sont des vitesses d'échelle.

